



تحليل الانعكاسية الطيفية لتكوين بيلاسي في كل من تركيب

بعشيقه، مقلوب

/ شمال العراق

زينه بسام صالح آغا

حمة صبغي الداغستاني

قسم علوم الارض/ كلية العلوم

مركز التحسس الثاني

جامعة الموصل

جامعة الموصل/كلية العلوم

zbs.aghaa@yahoo.com comhekmat.s.yousif@gmail.com

المستخلص

اسفرت نتائج تحليل الانعكاسية الطيفية لـ (١٧) نموذج صخري و (٤) نماذج تربة، تم اختيارهما لمكافحة صخرية تابعة لتكوين بيلاسي في كل من تركيب بعشيقه و مقلوب شمال العراق إلى تباين واضح في انعكاسيهما. يعود هذا التباين إلى الاختلاف الواضح في الصفات الفيزيائية والكيميائية للصخور الجيرية والدولومايتية لهذا التكوين.

اجريت بعض المعالجات الرقمية على مرئيات لاندستات 7 ETM⁺⁷ لمنطقة الدراسة بالاعتماد على نتائج المنحنيات الانعكاسية الطيفية لتلك النماذج الصخرية. استخدمت عملية الدمج الملون الكاذب لعدة توليفات للحزم الطيفية (١,٢,٣,٤,٥,٧)، وكذلك تم تطبيق المرئيات التنساوية الأحادية بصيغ مختلفة ودمجها بنظام الالوان (RGB) للحصول على افضل النتائج. استخدمت مخرجات المرئيات الناتجة اعلاه لأعداد خارطة رقمية ومقارنة نتائجها مع الخرائط والمعلومات الحقيقة لمنطقة.

الكلمات المفتاحية: البصمة الطيفية ، بيلاسي ، مرئية تنساوية ، ASD ، بعشيقه



Analysis of Spectral Reflectivity of Pila Spi Formation in Bashiqa, Maklob and Ean Alsafra Structures/Northern Iraq

Zeena B. S. Agaa

Hekmet S. AL-Daghastani

Geology Dept.

Remote Sensing Center

Mosul University

Mosul University/Collage Of Science

zbs.aghaa@yahoo.com hekmat.s.yousif@gmail.com

Abstract

The results of the analysis of spectral reflecting curves of selected (14) rocks and (4) soil samples of Pila Spi formation in both Ba'shiqa and Maklob structures northern Iraq, to clear contrast in reflectivity. This discrepancy is due to the obvious difference in the physical and chemical characteristics of carbonate and dolomitic rocks of this formation.

A variety of image processing techniques were applied on land sat ETM+7 image of the study area depending on spectral reflecting results of the above samples. Numerous false colored combination were carried out on (1, 2, 3, 4, 5, 7) image bands. Several image ratio were applied and integrated with (RGB) system to get the best results digital geological map was produced by the use of resulted images which were compared their results with maps and field information of the area.

Keyword: Spectral signature, Pila Spi, Ratio Image, ASD

المقدمة



يعد تكوين بيلاسي (Pila Spi formation) من اهم التكوينات المنتشرة في شمال العراق ويعرف بعمر الايوسين الأوسط – الايوسين المتأخر (Middle-Late Eocene) [١]. يتميز هذا التكوين بامتداده الاقفي الواسع فهو يبدأ من الجنوب الغربي في ايران الى الشمال والشمال الشرقي في العراق ثم الى جنوب تركيا وشمال شرق سوريا. الاسم المكافئ لتكوين بيلاسي خارج الحدود العراقية في جنوب غرب ايران، هو تكوين جاروم (Jarum formation) [٢]. وفي جنوب تركيا وشمال شرق سوريا يطلق عليه تكوين ميديات (Midyat formation).

ت تكون صخور تكوين بيلاسي من صخور جيرية (Limstone) وصخور دولومايتية (Dolomitic)، تتخللها بعض طبقات المارل فضلاً عن عقد الصوان التي تظهر في الأجزاء العليا للتكوين. يعلو تكوين بيلاسي سطح عدم توافق يمثل عاده بطقة من المدملكات التي تفصله عن التكاوين التي تعلوه غالباً ما تكون تكوين الفتحة [٣]، وذلك بفقدان زمن جيولوجي وهو (Oligocene and Early Miocene). يمثل تكوين بيلاسي السحنة الضحلة الاغونية للدورة الترسيبية (Inshore Lagoonal deposits) في شمال العراق [٣].

تهدف الدراسة الحالية الى تحليل الانعكاسية الطيفية للمكافف الصخرية لتكوين بيلاسي المنتشرة في منطقه الدراسه المعاينة السلوكي الطيفي لها باستخدام جهاز مقياس الطيف الكهرومغناطيسي وبأسلوب المعاينة المباشرة مع النموذج (Contact prop) وللمدى الطيفي (٣٥٠-٢٥٠٠ نانومتر) الى جانب اعداد خارطة جيولوجية رقمية لتكوين.

الموقع الجغرافي لمنطقة الدراسة

تقع منطقة الدراسة في شمال العراق وتتبع اداريا لقضاء الحمدانية ضمن محافظة نينوى وتبعد حوالي (٣٠ كم) شمال مدينة الموصل، اذ يمكن الوصول اليها عن طريق موصل - بعشيقه - مقلوب، وتقع ضمن دائري عرض ("٤٠°٢٥'٠٠") (٣٦٠٥٠'٠٠") شمالي، وخط طول ("٥٠°٤٠'٠٠") و ("٥٠°٤٠'٢٥") شرقاً الشكل (١).

قسمت منطقة الدراسة الى جزئين الجزء الاول لأخذ النماذج الحقلية والمتمثلة بتركبي بعشيقه ومقلوب، أما الجزء الثاني (تركيبي عين الصفرة) فهي لتطبيق نتائج القياسات الطيفية التي تم الحصول عليها من تكوين بيلاسي من الجزء الاول ومعالجتها باستخدام البرمجيات الحديثة



وذلك لإعداد خريطة جيولوجية رقمية لهذا التكوين. حظيت منطقة الدراسة إلى العميد من الدراسات الجيولوجية المختلفة [٤][٥]، إلا أنها تفتقر إلى الدراسات فيما يخص تحديد البصمة الطيفية لها وكذلك تحديد امتدادات التكاوين الصخرية باستخدام المعالجات الرقمية.

الشكل (١) موقع منطقة الدراسة

اسلوب العمل

يعتمد تفسير معطيات التحسس النائي على مقدار الانعكاسية الطيفية المنعكسة من معالم سطح الأرض والمسجلة على المرئيات الفضائية، حيث تتباين هذه القيم بالاعتماد على التباين في الصفات الفيزيائية والكيميائية للهدف [٦].

تتضمن هذه المرحلة تحضير النماذج الصخرية المأخوذة من منطقة الدراسة وتهيئتها للفحص باستخدام جهاز مقياس الطيف الكهرومغناطيسي (ASD) وبأسلوب المعاينة المباشرة مع النموذج والمتواجد في مختبرات التحسس النائي/ جامعه الموصل (Contact prop).

استخدم هذا جهاز في تحديد قيمة الانعكاسية الطيفية، والذي يعتبر من الأجهزة المتطوره والحديثه وله القدرة على رسم المنحنيات الانعكاسية لأهداف مختلفة مثل المكافش الصخرية وبدقه عاليه، حيث تظهر النتائج بشكل منحنيات تمثل العلاقة بين الطول الموجي للمدى الطيفي



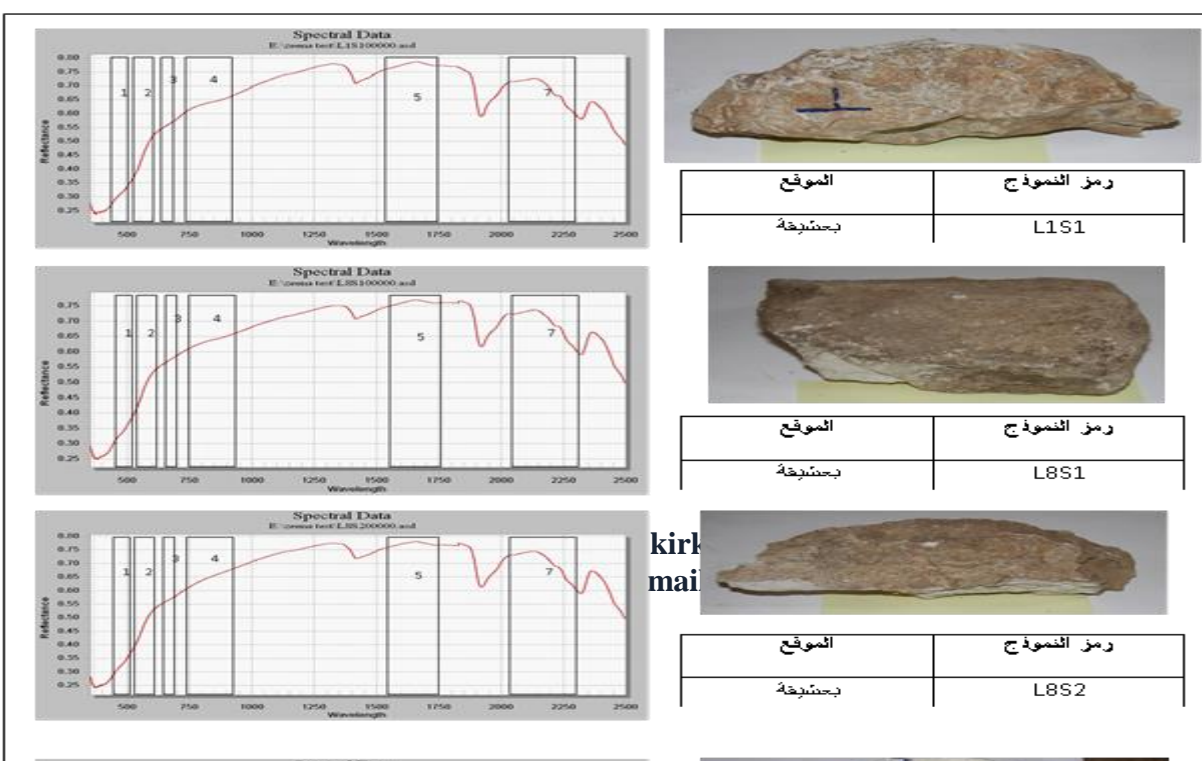
(٣٥٠-٢٥٠٠) نانوميتر المتمثلة بالمحور السيني وقيمة الانعكاسية للهدف والتي تترواح بين (٠-١)% والمتمثلة بالمحور الصادي.

تم تقسيم نتائج منحنيات الانعكاسية للنماذج المختارة من كل من تركيب بعشيقه ومقلوب ومقارنه نتائجها وذلك للتعرف على السلوك الطيفي لهذه النماذج وعلاقتها مع الاطوال الموجية لقوافس المرئية الفضائية نوع لاندستس ETM+7 المستخدمة في الدراسة الحالية لتسهيل تقسيم سلوك هذه المنحنيات التي تم الحصول عليها تم تقسيمها الى مجاميع بالاعتماد على الصفات الحقلية لها وقيمة الانعكاسية وشكل البصمة الطيفية لهذه النماذج. تم ربط هذه النتائج مع عمليات المعالجة الرقمية المتعددة وتوظيفها في اعداد الخارطة الرقمية النهائية.

نتائج التحليل الطيفي لـ (تركيب بعشيقه)

المجموعة الاولى:

- تضم هذه المجموعة (خمسة) نماذج من صخور الدولومايت الكلسي ذات اللون الكريمي والصلابة القوية، لتكوين بيلاسيبي المكون من الصخور الجيرية المعرضة لعملية الدلتة.
- تمتاز هذه المجموعة بقيمة انعكاسيه عاليه تراوحت ما بين (٧٥٪-٨٠٪-٨٠٪) حيث نلاحظ هنا ان الانعكاسية تزداد بزياده الطول الموجي وخاصة في نطاق الجزء المرئي والأشعة تحت الحمراء مما اعطى شكل لمنحي انعكاسيه نظامي تصاعدي. يلاحظ التطابق شبه التام للبصمة الطيفية للنماذج الخمسة اعلاه بزياده الطول الموجي مما يعكس التشابه بالصفات الحقلية لهذه النماذج (الشكل ٢).

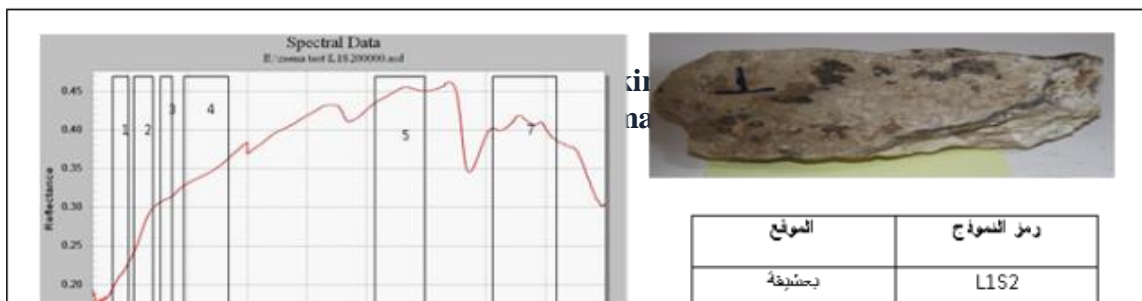




الشكل(٢) يوضح المنحنيات الطيفية العائدة للمجموعة الاولى مع موقع قنوات لاندستاتو صوره مختبريه للنموذج الصخري.

المجموعة الثانية:

- تصف نماذج هذه المجموعة (نموذجان) بكونها عباره عن صخور جيريه ذات صلبه قويه، تحتوي على القشرة الدولومايتية على سطحها الخارجي، اضافه الى وجود ظاهرهالجيরت (Chert) والتي قد تكون بشكل بقع سطحيه مثل النموذج (L1S2) او على شكل عقد مثل النموذج(L1S5).
- تمتاز البصمه الطيفية لهذه المجموعة باختلاف واضح في شكل منحني الانعكاسيه عن المجموعة الاولى، حيث نلاحظ انخفاض في شكل المنحني في منطقة الطيف المرئي ثم يرتفع وينخفض المنحني بشكل متفاوت وبنسب قليله، ثم يرتفع في منطقة الأشعة تحت الحمراء ويسجل اعلى قيمه انعكاسيه لهافي الجزء الواقع بين الطول الموجي (١٥٠٠ - ١٧٥٠ nm)، أي في المنطقة تحت الحمراء المتوسطه اذ تراوحت بين (٤٥ - ٥٥٪)الشكل(٣).

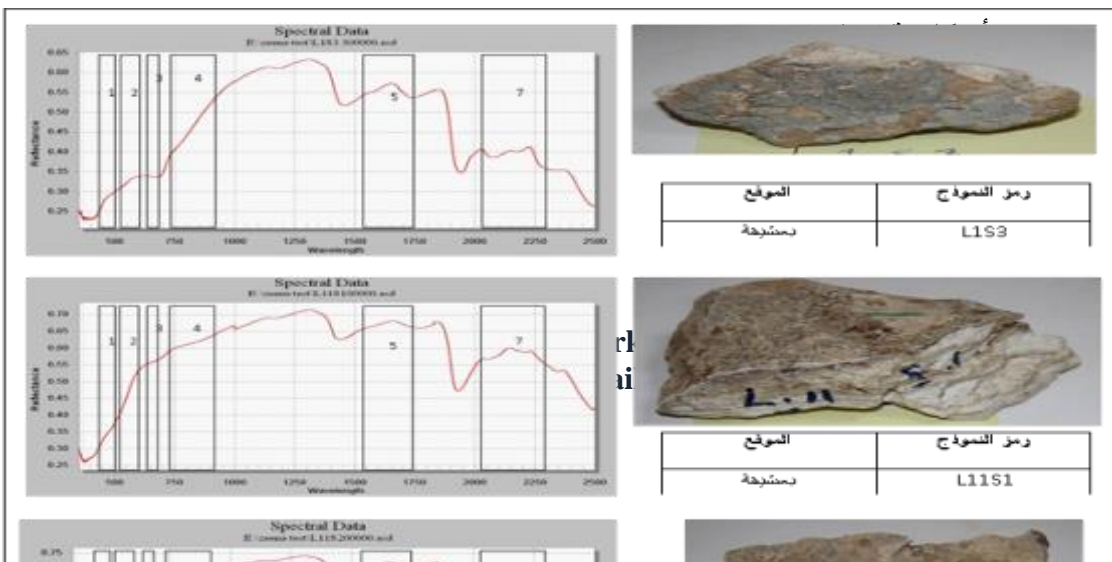




الشكل(٣) يوضح المنحنيات الطيفية العائدة للمجموعة الثانية مع موقع قنوات لاندستاتو صور همخبئيه للنموذج الصخري.

المجموعة الثالثة:

- تتصف النماذج (الثالثة) لهذه المجموعة بوجود ظاهرة الاشנות الحديثة وبشكل طبقة سميكة وكثيفه والتي تتواجد على سطح القشرة الدولومايتية كما في النموذج (L1S3)، وقد تتواجد هذه الاشנות بنسبة قليلة جداً على السطح الخارجي للنموذج (الشكل (٤)).
- تميز البصمة الطيفية لهذه المجموعة باختلاف واضح ايضاً في شكل المنحني و خاصة النموذج (L1S3)، حيث نلاحظ ان شكل المنحني بدأ بالزيادة عند الجزء الواقع بين (٧٥٠-٥٠٠) nm من الطول الموجي، ثم ينخفض عند الجزء الواقع بين (٧٥٠-٥٠٠) nm، ومن ثم يبدأ مرة اخرى بالزيادة بشكل واضح وخاصة عند الجزء الواقع بين (١٣٠٠-١٠٠٠) nm، اي عند منطقة الاشعة تحت الحمراء البعيدة وسجل اعلاه قيمة





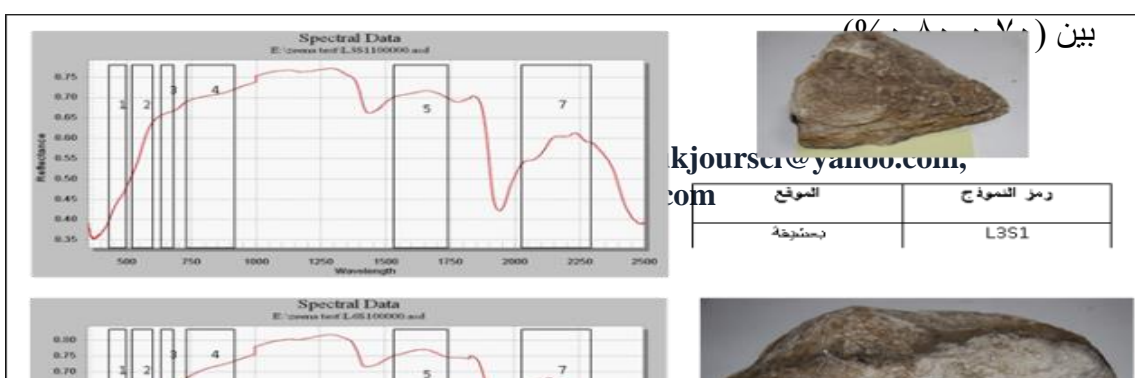
الشكل(٤) يوضح المنحنيات الطيفية العائدة للمجموعة الثالثة مع موقع قنوات لاندست وصورة مختبرية للنموذج الصخري.

- يختلف النموذجان (L11S1,L11S2) بشكل المنحني و خاصة عند الجزء الواقع بين (١٠٠٠-٥٠٠ nm) من الطول الموجي عن النموذج السابق من حيث الشكل والسلوك حيث بدأ الارتفاع بشكل منتظم وتراوحت قيمة الانعكاسية (0.70-0.75%).
- ان سبب الاختلاف في شكل المنحني و قيمة الانعكاسية لهذه المجموعة هو تواجد الاشئنات الحديثة على السطح الخارجي مما يؤثر على كمية الطاقة المنعكسة مباشرة من سطح النموذج.

المجموعة الرابعة :

• تتصف نماذج هذه المجموعة (نموذج) بكونها صخور جيرية تغطيها قشرة دولوميتية، لتكوين بيلاسيبي، تمتاز بصلابة متوسطة الى قوية (الشكل٥).

• عند ملاحظة شكل البصمة لمنحني الانعكاسية الطيفية، نلاحظ ان المنحني يزداد بزيادة الطول الموجي وخاصة في الجزء الواقع بين (١٠٠٠-٥٠٠ nm)، ثم يبدأ بالزيادة ليسجل أعلى قيمة انعكاسية له في الجزء الواقع بين (1400-1000)nm من الطول الموجي، حيث نلاحظ ظهور مناطق الامتصاص بشكل واضح عند (١٤٠٠ و ١٩٢٠ nm)، كما تراوحت قيمة الانعكاسية





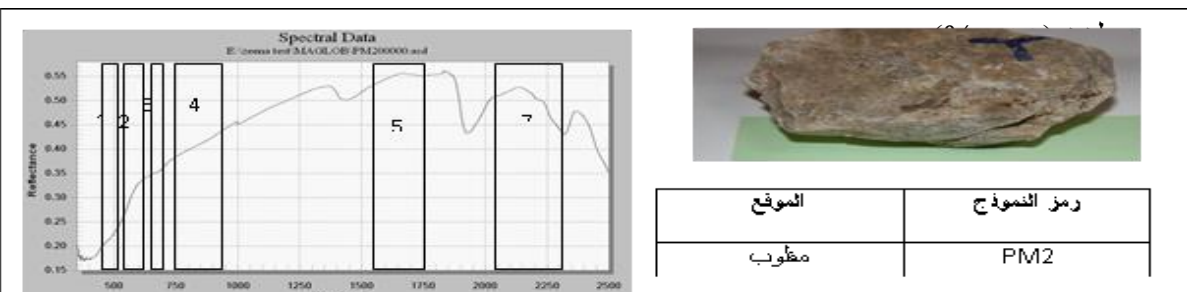
الشكل(٥) يوضح المنحنيات الطيفية العائدة للمجموعة الرابعة مع مواقع قنوات لاندسات وصورة للنموذج الصخري.

نتائج التحليل الطيفي لـ(تركيب مقلوب):

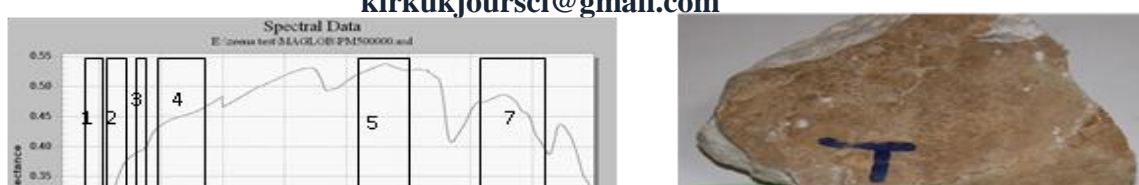
المجموعة الاولى :

• تتصف نماذج هذه المجموعة (نموذجان) بكونها عبارة عن صخور جيري ذات صلابة قوية تحتوي على القشرة الدولوميتية على سطحها الخارجي اضافة الى وجود الجيرت بشكل طبقة خفيفة تتواجد على سطح الصخرة، مما ادى الى حدوث تغيير في لون السطح الخارجي للنموذج الصخري بالشكل(٦).

• تميز هذه المجموعة باختلاف في شكل منحني الانعكاسية حيث نلاحظ انخفاض في شكل المنحني في منطقة الطيف المرئي ثم يرتفع وينخفض المنحني بشكل متفاوت وبنسب قليلة، ثم يرتفع في منطقة الاشعة تحت الحمراء ويسجل أعلى قيمة انعكاسية لهافي الجزء الواقع بين الطول الموجي (١٧٥٠-١٥٠٠ nm اي في المنطقة تحت الحمراء المتوسطة حيث



Web Site: www.kujss.com Email: kirkukjournsci@yahoo.com,
kirkukjournsci@gmail.com



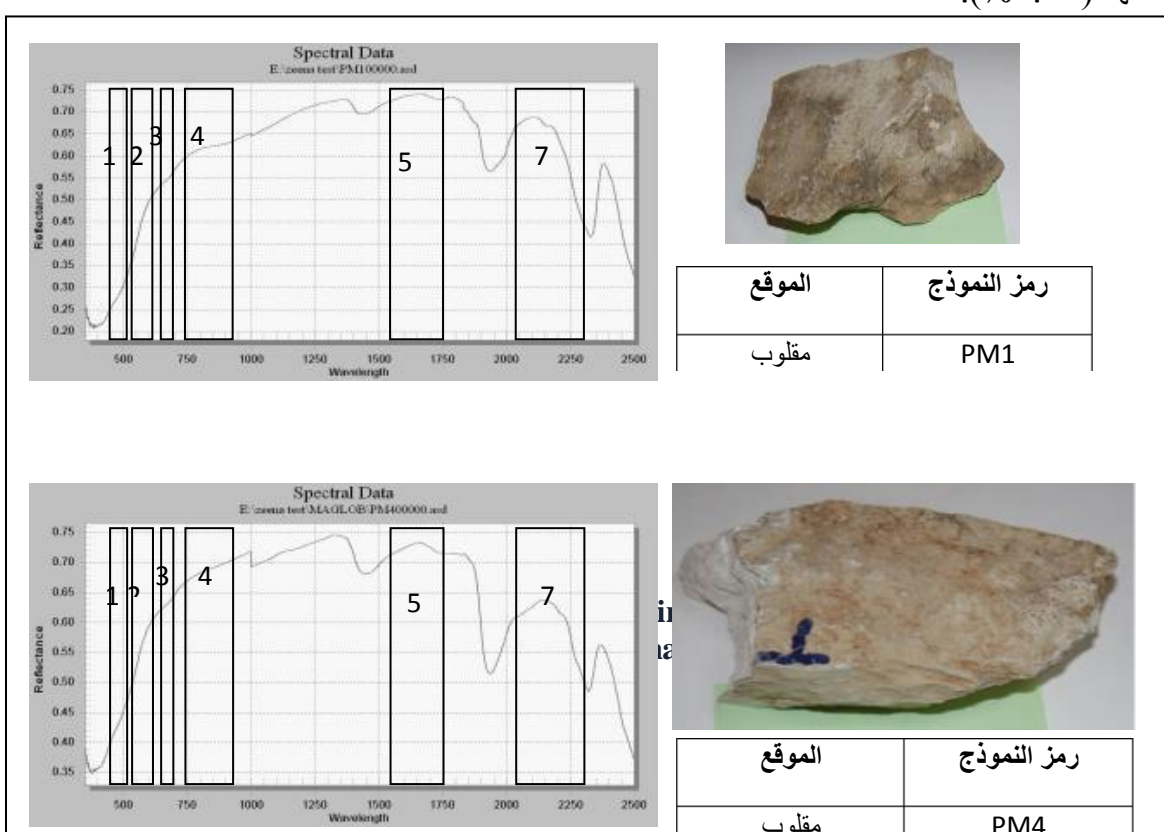


الشكل(٦) يوضح المنحنيات الطيفية العائدة للمجموعة الاولى مع موقع قنوات لاندستات وصورة مختبرية للنموذج الصخري.

المجموعة الثانية :

• تتصف نماذج هذه المجموعة (نموذجان) بكونهما صخور جيرية مغطاة بقشرة دولومايتية، ذات لون كريمي فاتح وصلابة قوية(الشكل ٧).

• يمتاز منحني الانعكاسية بشكل منتظم في الارتفاع والانخفاض حيث يبدأ بالزيادة في منطقة (٥٠٠)nm ثم ينخفض بشكل واضح إلى منطقة (١٠٠٠)nm من الطول الموجي. نلاحظ ظهور مناطق الامتصاص بشكل واضح عند(١٤٠٠ و ١٩٢٠)nm بينما تبلغ أعلى قيمة انعكاسية لهما(٧٥٪).

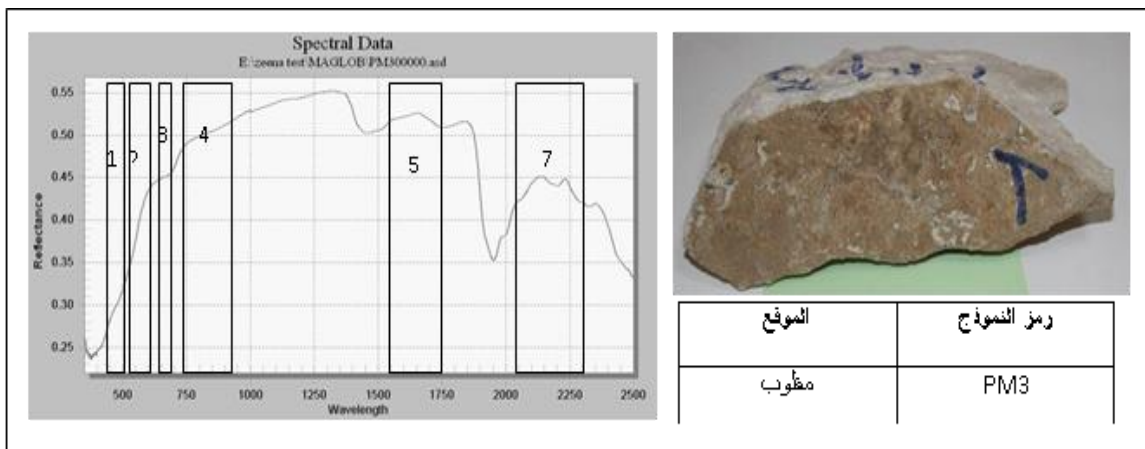




الشكل(٧) يوضح المنحنيات الطيفية العائدة للمجموعة الثانية مع مواقع قنوات لاندسات وصورة مختبرية للنموذج الصخري .

المجموعة الثالثة :

- يتصف نموذج هذه المجموعة بكونها صخور جيرية تغطيها قشرة دولومايتية، اخذ هذه النموذج من أحد المكافف الصخرية لتكوين بيلاسيبي في منطقة تركيب مقلوب (الشكل(٨)).
- عند ملاحظة شكل منحني الانعكاسية الطيفية نلاحظ ان المنحني يزداد بزيادة الطول الموجي وخاصة في الجزء الواقع بين (١٠٠٠-٥٠٠) nm، ثم يبدأ بالزيادة ليسجل أعلى انعكاسية له في الجزء الواقع بين (١٤٠٠-١٠٠٠) nm من الطول الموجي حيث نلاحظ ظهور مناطق الامتصاص بشكل واضح عند (١٤٠٠ و ١٩٢٠) nm حيث بلغت أعلى قيمة انعكاس سجلت على المنحني هي (٥٥٪).



الشكل(٨) يوضح المنحنيات الطيفية العائدة للمجموعة الثالثة مع مواقع قنوات لاندسات وصورة مختبرية للنموذج الصخري.



نتائج التحليل الطيفي لنماذج الترب:

ان سبب اختيار عينات للتربة في تركيب بعشيقه هو ان هناك مساحات واسعة من سطح هذا التركيب يمغطى بترب موقعة ومنقوله تساهم بشكل كبير في مقدار الانعكاسية الطيفية المسجلة في المرئيات الفضائية [٤]. الجدول (١) يبين نتائج التحليلات المختبرية لنماذج الترب.

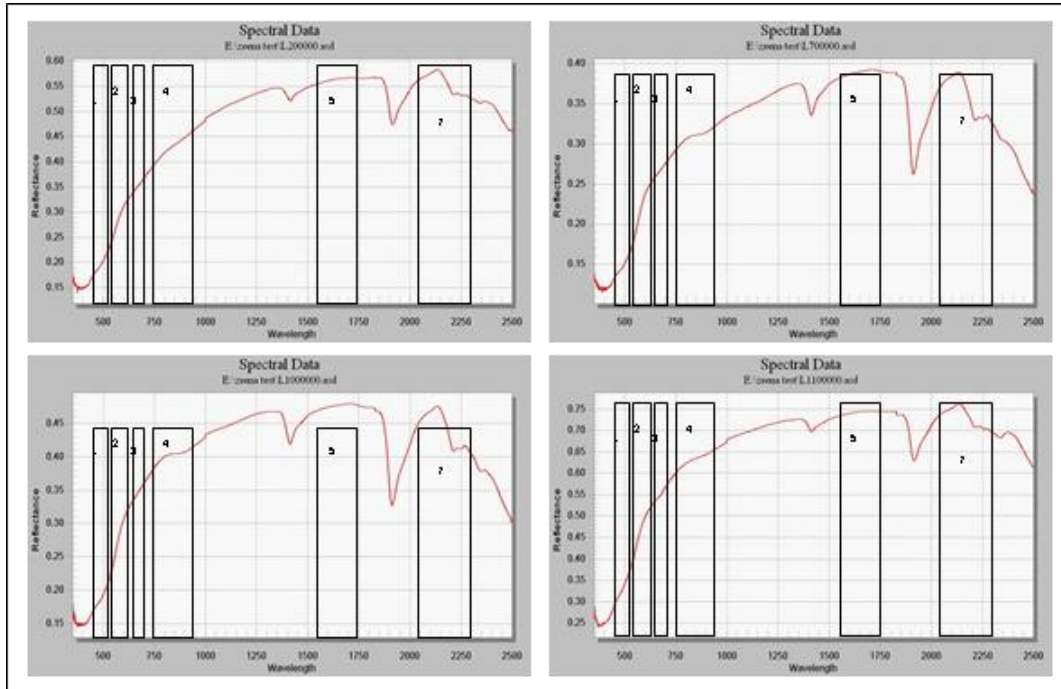
عند ملاحظة منحنيات الانعكاسية لنماذج الترب (الاربعة) الشكل (٩) نلاحظ ان قيمة الانعكاس يزداد بزيادة الطول الموجي وخاصة في منطقة الطيف المرئي والاشعة تحت الحمراء، اما فيما يخص معدل قيمة الانعكاسية نلاحظ هناك اختلاف بسبب تأثر هذه القيمة بعدة عوامل مثل خشونة سطح التربة وكذلك محتوى التربة من الرطوبة عند ملاحظة نموذج (L10) و (L7) نلاحظ ان قيم الانعكاسية اقل من (L11) و (L2) حيث تراوحت بين (٤٠٪ - ٤٥٪). يعود السبب في ذلك الى أن نسبة الرطوبة فيها أعلى وهذا ما نلاحظه عند منطقة الامتصاص (1920nm). ويدرك هنا ان من الملاحظات الحقلية لهذه النماذج انها من الترب الصالحة للزراعة وكان موقعها في قمة جبل بعشيقه وتستخدم حالياً لزراعة الحنطة والشعير. اما بالنسبة لنموذج (L2) و (L11) (عباره عن ترب منقوله ناتجه من تجوية المكافف الصخرية لتكوين بيلاسي حيث تراوحت نسبة الانعكاسية فيها بين (٦٠٪ - ٧٥٪) وذلك بسبب انخفاض نسبة الرطوبة وهذا ما نلاحظه عند منطقة الامتصاص (1400nm و 1920nm). تعتبر النسبة ايضاً من العوامل التي تؤدي الى الاختلاف في قيم الانعكاسية (الشكل ٩).

جدول (١) نتائج التحليلات المختبرية لنماذج الترب لموقع بعشيقه

رمز النموذج	اللون لجاف	اللون لرطب	فحص الحموضة PH	فحص الملوحة EC	فحص النسيج (نوع التربة)	الموقع
L2	10YR6/4	10YR3/4	7.32	1.09	Clay loom	بعشيقه
L7	10YR6/4	10YR3/4	7.57	4.75	Clay loom	بعشيقه
L10	10YR5/4	10YR3/4	7.03	0.35	Silty clay loom	بعشيقه



بعشقة	Clay loom	1.39	7.55	10YR5/4	10YR6/4	L11
-------	-----------	------	------	---------	---------	-----



الشكل (٩) يوضح المنحنيات الطيفية لنماذج الترب مع موقع قنوات لاندست في تركيب بعشقة.

طرائق المعالجة الرقمية

تتضمن هذه المرحلة استخدام طرائق المعالجة الرقمية وتنفيذها على حزم المرئيات لاندست الستة (1,2,3,4,5,7)، حيث تم تطبيق عمليات المعالجة الرقمية المتعددة لتحديد المكافش الصخرية والترب المنتشرة في منطقة الدراسة. استخدمت مرئية فضائية متعددة الأطيف Landsat ETM+7 ملقطة بتاريخ (13.6.2001) ذات فهرس (P170 R35). اجريت عمليات المعالجة الاولية عليها (التصحيح الطيفي والهندسي) ومن ثم عملية قطعها وتهيئتها كمنطقة دراسة تم استخدام برنامج ENVI4.5 الخاص بعمليات المعالجة الرقمية لبيانات



التحسّس النّائي حيث يعتبر هذا البرنامج من البرامج المتقدمة والحديثة المعتمدة حاليًا في هذا المجال شملت المعالجات الرقمية وكما يأتي:

١- الدمج الملون الكاذب:

تم استخدام عملية الدمج الملون الكاذب لحزم طيفيه منقطة بغية تكوين مرئيات ملونه يمكن من خلالها ان تقدم معلومات خاصه بالبنية الجيولوجية لمنطقة الدراسة حيث تعتمد هذه العملية على وضع الالوان للأعداد الرقمية بمظاهر تختلف عما تمثله من انعكاس طيفي عن سطح الارض. يستفاد من عملية الدمج الملون الكاذب انه يساعد على التركيز على مظاهر ارضية معينة وذلك من خلال ابرازها بالوان اكثر وضوحاً^[٧]. تم تطبيق (12) مرئيه ملونة كاذبة من خلال دمج الحزم الطيفية بنظام الالوان(RGB) للحصول على افضل التوليفات التي تظهر المكافش الصخرية في منطقه الدراسة الشكل (١٠).

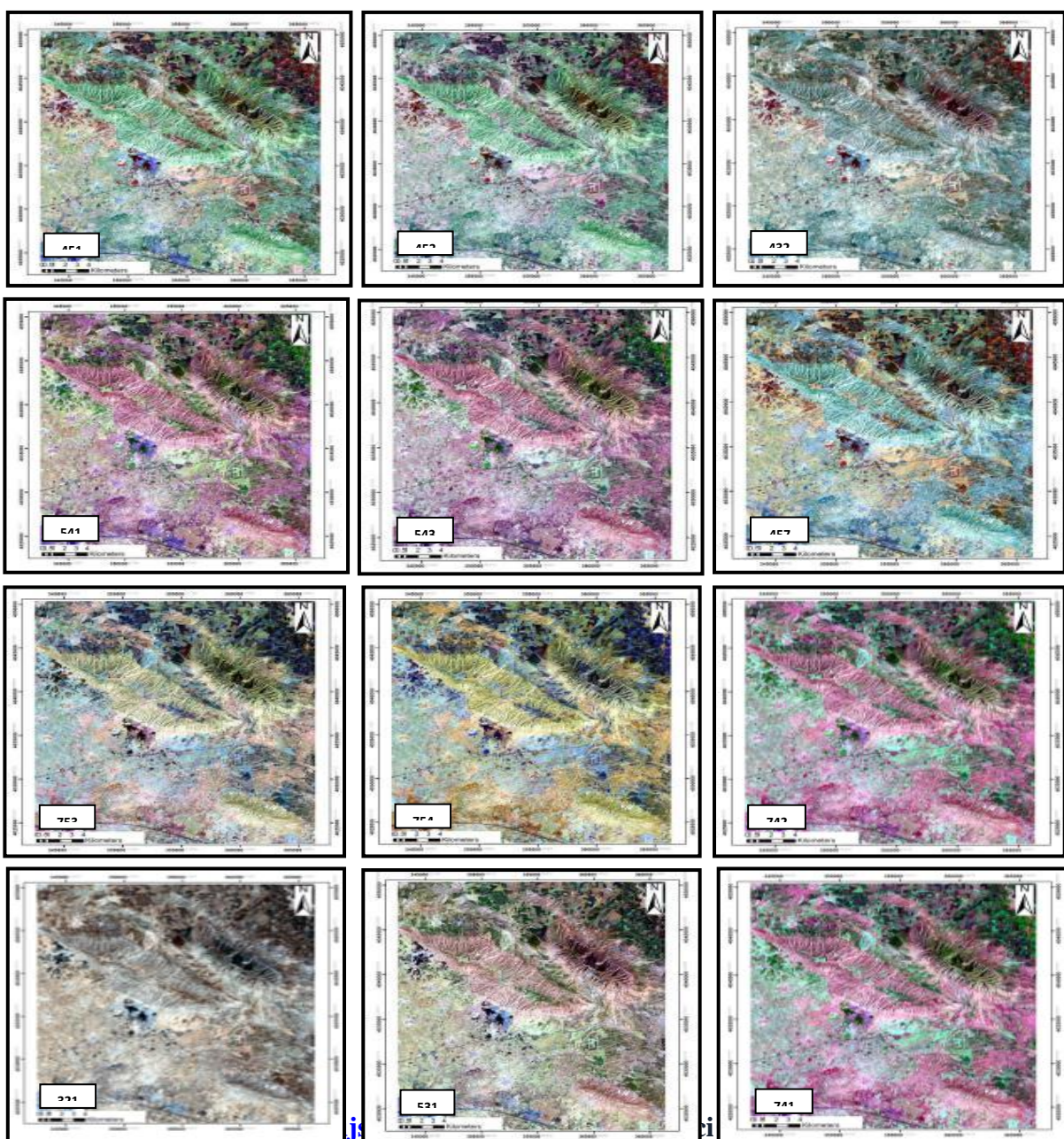
تم اجراء المقارنة والمضاهاة بعملية التفسير البصري وبالاعتماد على نتائج منحنيات الانعكاسية التي تم الحصول عليها في المرحلة السابقة. تم الاعتماد على التوليفة (٧٤١) (RGB) على التوالي، اذ كانت انساب التوليفات التي تظهر تكوين بيلاسي بشكل واضح ومفصول عن المكافش الصخرية المجاورة^[٨].

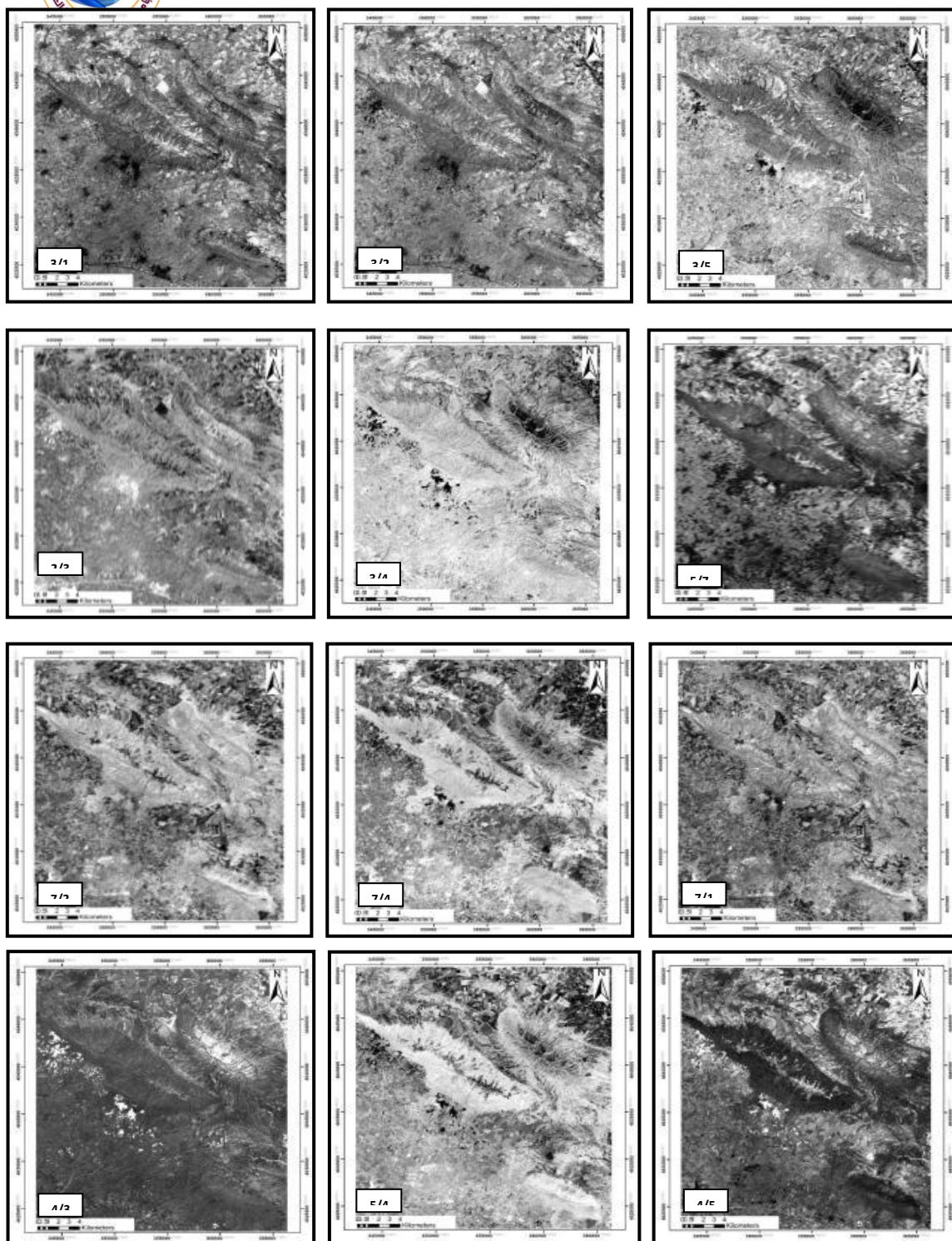
٢- المرئيات التناصية:

تعتبر احد المعالجات الرقمية التي تمكن استخدامها في الكشف عن المظاهر الأرضية وتتضمن هذه العملية تقسيم الخلايا الخاصة بمرئية فضائية لحزمة طيفية معينة (البسط) على الخلايا الخاصة بمرئية فضائية لحزمة طيفية اخرى (المقام) على اساس التناظر الموجود للخلايا وعرض المرئية الناتجة بتدرج اللون الرمادي [٩]. ولاتمام هذه العملية يجب ان يكون اختيار الحزم الطيفية بالاعتماد على نتائج الانعكاسية الطيفية للهدف المراد دراسته^[١٠]. في هذه الدراسة تم الاعتماد على منحنيات الانعكاسية للصخور العائدة لتكوين بيلاسي لتحديد افضل الحزم الطيفية لتطبيق عملية النسب الطيفية، تم استنتاج اثنا عشر مرئية نسب طيفية احادية كما هو مبين في الشكل (١١).

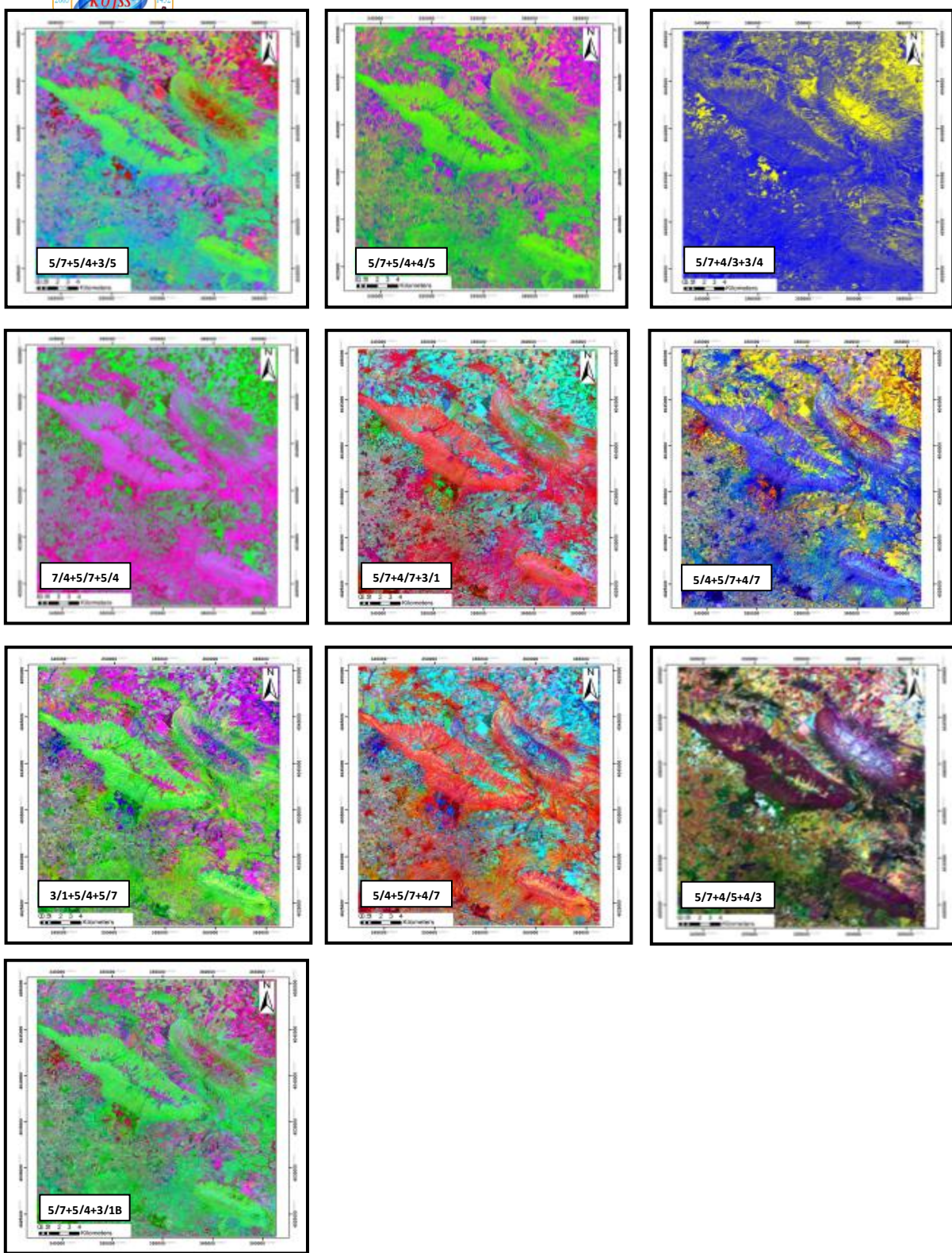


إن الاستغلال الامثل والادق للنتائج السابقة ولأظهارها بشكل اوضح تسهل على المفسر من اتمام عمله التفسير المرئي بنجاح تم دمج بيانات النسبة الطيفية الاحادية باللون الاحمر والاخضر والازرق، حيث تم انتاج عشر مرئيات ناتجة من ربط ثلاث بيانات للنسب الطيفية الاحادية حيث اعطت المرئية الناتجة من دمج المرئيات التاسيبة الاحادية ($\frac{4+5}{4+7+5}$) على التوالي، وقد تم اختيار هذا التوزيع في الالوان لإعطائه افضل النتائج البصرية في تمييز الحدود الفاصلة لتكوين بيلاسي عن التكاوين والمظاهر الاخرى في المنطقة من خلال تحديدها وفصلها بدقة الشكل (١٢)، ومن خلال الملاحظات الحقلية للمنطقة.





الشكل (١١) يوضح نتائج المرئيات التناسبية الاحادية المنفذة للدراسة الحالية



الشكل (١٢) يوضح نتائج عملية دمج مرئيات النسب الاحادية وربطها بنظام الـ RGB.
تمتاز تقنيات التحسس النائي في قدرتها على التحري والكشف عن المكاشف الصخرية
اعتماداً على السلوك الطيفي لهذه الموارد في مجالات الطيف المختلفة حيث تختلف الاشعة
Web Site: www.kujss.com Email: kirkukjournsci@yahoo.com,
kirkukjournsci@gmail.com



المنعكسة من الاجسام، من حيث تردداتها واطوالها الموجية في جميع اقسام الطيف الكهرومغناطيسي.

اظهرت نتائج التحليل الطيفي للنماذج الصخرية المأخوذة من منطقه الدراسة، ان هناك اختلاف في معدل قيم الانعكاسية تراوحت بين قيمة واطئة (٤٥.٥٥٪)، قيمة متوسطة (٦٠٪-٧٥٪) وقيمة عالية (٨٥٪-٩٥٪). بسبب وجود بعض الشوائب الموجدة على السطح الخارجي للنموذج الصخري ادى الى حدوث اختلاف في قيم الانعكاسية الطيفية، مثل وجود اكاسيد الحديد وعقد الصوان الموجدة على سطح النموذج الصخري (L1S5) وكذلك وجود بعض الاشئارات الحديثة مثل النموذج الصخري (L1S3). كما ان وجود هذه الشوائب بحسب مختلفة ادى الى حدوث اختلاف وتغير في شكل منحني الانعكاسية.

اظهرت الدراسة الحالية امكانية الاستفادة من مكاملة النتائج الطيفية مع عمليات المعالجة الرقمية للمرئيات الفضائية متعددة الاطياف في انتاج خارطة جيولوجية رقمية غرضية لمنطقة الدراسة بالاعتماد على الامكانيات العالية التي توفرها برامجيات التحسس النائي ونظم المعلومات الجغرافية، اذ تم الاعتماد على المرئية الناتجة من دمج المرئيات التنسابية الاحادية (٤/٣ ، ٤/٥ ، ٥/٧) في تحديد امتداد تكوين بيلاسي في كل من تركيب بعشيقه ومقلوب وتوسيعها لتصل الى تركيب عين الصفرة (شكل ١٣)، استنادا الى نتائج تحليل البصمة الطيفية لتكوين بيلاسي.

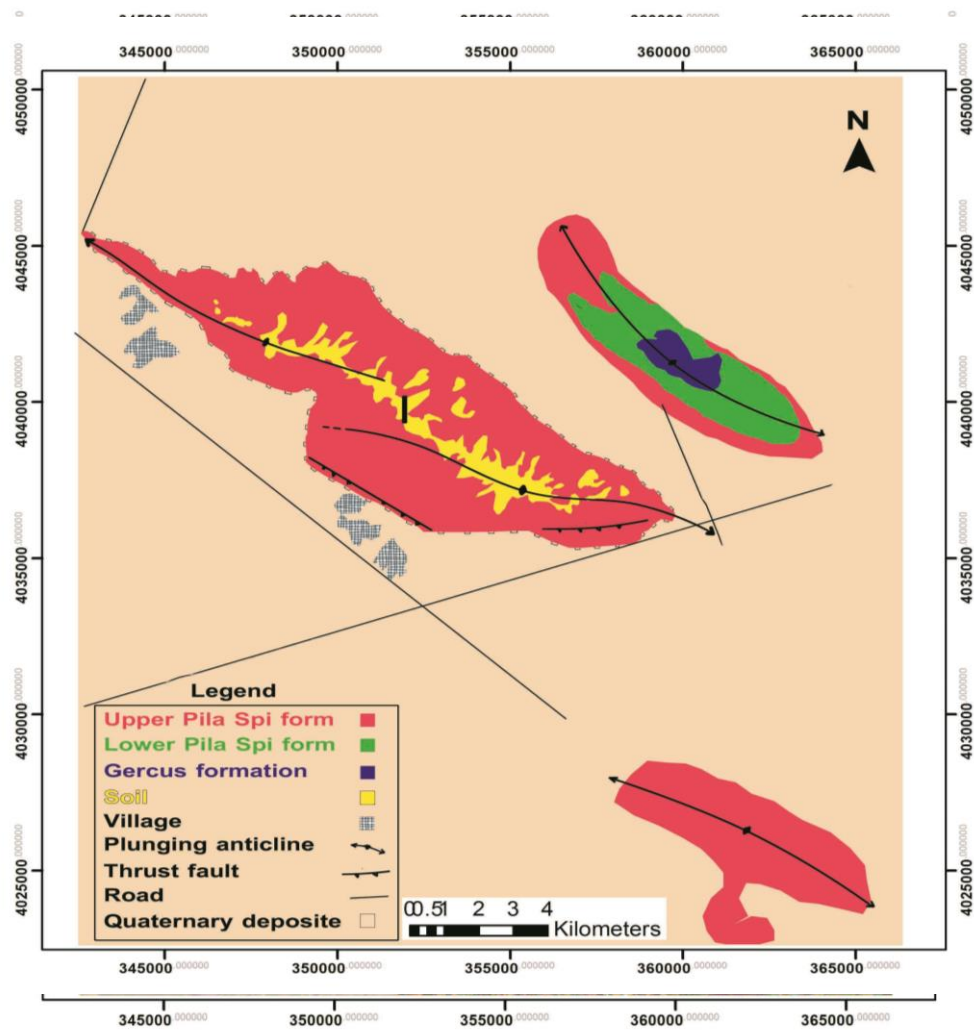
يوضح الشكل (١٤) عملية تلبيس الخريطة الجيولوجية الرقمية على المرئية التنسابية (٤/٣ ، ٤/٥ ، ٥/٧) التي تم انتاجها، والتي امتازت بدقة مكانية عالية استمدتها من دقة المرئية الفضائية المستخدمة في الدراسة الحالية (١٥m)، نتيجة لاجراء عمليتي التصحيح الطيفي والهندسي عليها.

تظهر الخارطة الرقمية امتدادات تكوين بيلاسي في كل من تركيب بعشيقه ومقلوب وعين الصفرة، اضافة الى فصل هذا التكوين الى وحدتين (Upper and Lower units) بالاعتماد على نتائج البصمة الطيفية والمعلومات الحقلية. نلاحظ ايضا في تركيب بعشيقه امتدادات تربات التربة، بينما ظهر حدود تكوين (Gercus Formation) في لب تركيب مقلوب بانعكاسات طيفية متباعدة. نستنتج من خلال دراسة وتحليل نتائج البصمة الطيفية



والمعالجات الرقمية المتعددة المنفذة على مرئية لاندسات 7 لمنطقة الدراسة تم التوصل إلى النتائج التالية:

١. الحصول اولاً على نتائج منحنيات الانعكاسية تساعد في التعرف على السلوك الطيفي وبالتالي دراسة الخصائص الطيفية للمكافحة الصخرية التابعة لتكوين بيلاسي.
٢. تعد هذه المنحنيات ارشيف خاص بالبصمة الطيفية لتكوين بيلاسي في كل من تركيب بعشيقه ومقلوب وعين الصفرة، ومن الممكن تعميم نتائج منحنيات الانعكاسية الطيفية الناتجه من هذه الدراسة على مناطق اخرى من العراق.
٣. ان معرفة السلوك الطيفي للترب الموقعة وكيفية تمييزها عن الانعكاسية الطيفية للمكافحة الصخرية لتكوين بيلاسي تمكنا من تمييز هذه الترب ومعالجتها وفصلها عن امتدادات التكوين الجيولوجية عند التقسيير الرقمي للمرئيات الفضائية واعداد الخرائط الغرضية.



الشكل

(١٣) الخريطة الجيولوجية الرقمية لمنطقة الدراسة



الشكل(٤) يوضح عملية تلبيس الخريطة الجيولوجية على المرئية التنسابية($5/7+4/5+4/3$)

المصادر

- [1].Bellen, R.C. Van, Dunuington, H.V. Wetzel, R. and Mortan, D.M. (1959). Lexique Stratigraphique. International, Vol. 3, Iraq, Asia, 10a, 238p.
- [2].Buday, T. (1980). The regional Geology of Iraq (Stratigraphy and Paleontology). Dar Al-Kutib publishing House, Mousl Iraq.443
- [3].Jassim S. Z., and Goff J., (2006) : Geology of Iraq Published by Dolin, Pargue and Messem, Brono Czech Republic, (2006), 341p.



[٤]. الدغستاني، حكمت صبحي والدليمي، ميادة محمود(٢٠٠٧). توزيع تربات التربة في

تركيب بعشيقه شمال مدينة الموصل باستخدام معطيات التحسس النائي. المجلة العراقية لعلوم
الارض، المجلد ٨، العدد ٢، صفحة ٢٦-١٧.

- [5]. Salih, M.R. and Al-Daghastani, H.S. (1993). Thrust mechanism and their Relationship with Folding and Geomorphology of Bashiqa Structure, north of Iraq. Iraqi Geological Journal, Vol. 26. No. 1, p.62-76.
- [6]. الداغستاني، حكمت صبحي(٢٠٠٤). مبادئ التحسس النائي وتفسير المرئيات، دار ابن الاثير للطباعة والنشر، جامعة الموصل، صفحة ٥٢٦
- [7]. Jensen, J.R. (2005). Introductory Digital Image Processing (A Remote Sensing Perspective), 3rd Edition, Pearson Education, Inc, USA, 369p.
- [8]. Lillesand, T.M. and Kiefer, R.W., and Chipman, J.W. (2004). Remote Sensing and Image Interpretation, 5thed. John Wiley and Sons Incop. New York, USA. 763p.
- [9]. Mather P.M. (1987). Computer Processing of Remotely Sensed Images, International, John Wiley and Sons, 212p.
- [10]. Campell, J.B and Wyne R.H., (2011) Introduction to Remote Sensing, 5th ed., Guilford Press Publications Inc., USA, 684p. Dar Al-kutub. Publ. hous, Mosul – Iraq., 445p.